2016 年鳥取県中部の地震の被害地域における 地盤震動特性とその影響

西村 武1•野口 竜也2•香川 敬生3

¹正会員 鳥取大学 大学院工学研究科社会基盤工学専攻(〒680-8552 鳥取県鳥取市湖山町南 4-101) E-mail: D20T4002H@edu.tottori-u.ac.jp

²正会員 鳥取大学助教 学術研究院工学系部門(〒680-8552 鳥取県鳥取市湖山町南 4-101) E-mail: noguchit@tottori-u.ac.jp

³正会員 鳥取大学教授 学術研究院工学系部門(〒680-8552 鳥取県鳥取市湖山町南 4-101) E-mail: kagawa@tottori-u.ac.jp

2016年10月21日,鳥取県中部を震源とするM_{JMA}6.6の地震が発生し,倉吉市,北栄町,湯梨浜町で最大震度6弱を記録した。この地震による建物被害は、限られた地域に集中していた。本研究では被害地域周辺の微動探査を行い、過去に実施された研究成果と統合して地盤構造の推定および地盤震動特性を把握をおこない、被害との関連性を検討した。微動解析より Vs=200m/s 以下の低速度層が全観測点で推定され、日本海沿岸の平野部から内陸部へ向かって薄くなる傾向がみられ、地震動解析から Vs=700m/s 以上の深部の地盤構造について、隣接する北栄町と湯梨浜町で大きく異なることがわかった。被害と比較した結果、層厚が急激に変化する領域で被害が生じていることがわかり、建物被害は2次元あるいは3次元的な地盤構造の変化によって生じた可能性がある。

Key Words: Microtremor observation, Seicmic observation, Surface structure, the 2016 central Tottori prefecture Earthquake

1. はじめに

2016 年 10 月 21 日に鳥取県中部を震源とする MJMA6.6 の地震が発生し、鳥取県倉吉市葵町、北栄町土下、湯梨浜町龍島で最大震度が 6 弱であった ¹⁾. この地震による建物被害は屋根瓦落下等が特徴的であり、北栄町の平野部や、湯梨浜町の山麓部など、限られた地域に集中してみられた ²³. これらの局所的な被害は、地盤構造の違いによるサイト増幅特性で生じた可能性がある.

この地震の強震記録は防災科学技術研究所の K-NET および KiK-net, 鳥取県内自治体の強震観測点, 鳥取大学が設置した臨時観測点等で得られている. 強震記録の分析結果より, 地盤構造の違いによるサイト増幅の差異が確認された³. また, 震源近傍の北栄町土下(HJA)および湯梨浜町龍島(TGAR), 久留(YRAR)では地震記録とそのスペクトル解析から強い非線形効果による地盤応答が疑われている⁴.

地震動評価や非線形地盤応答, 地盤震動と被害との関連性について検討するためには, より詳細な地盤構造や地盤震動特性を把握する必要がある. 本研究では, 強震

観測点や被害地点において微動観測を実施し、過去に実施された研究成果 500も加えて地盤構造の推定および地盤構造を把握した. さらに、余震記録から深部地盤構造の推定を行った.

2. 観測

(1) 建物被害と対象地点の先行研究について

2016年鳥取県中部の地震の本震による建物被害は、北 栄町の平野部、湯梨浜町の山麓部に局所的にみられた。 図 1,2 は衛星画像からブルーシートの被覆状況を判別 したもの ^のと現地視察および聞き取りから作成した被害 分布である。本研究では、被害がみられた住宅から半径 50m の範囲を建物被害エリアとした。全域の建物被害エ リアの特徴として、山際に近い地域や平野部の限られた 地域に被害が集中していることがわかる。由良川の左岸 側の由良宿地域と右岸側の西園地域で特に被害がみられ たことが報告されている²。

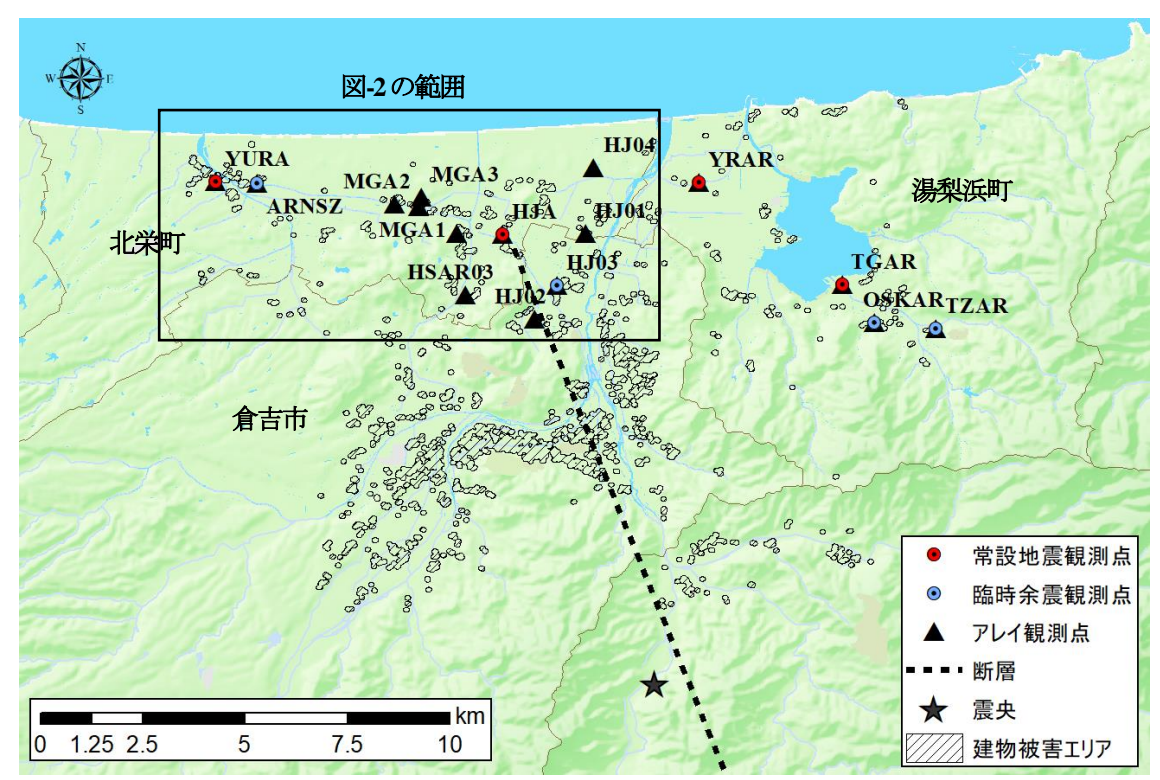


図-1 2016 年鳥取県中部の地震の断層・震央 1, 建物被害エリア, 各観測点の分布

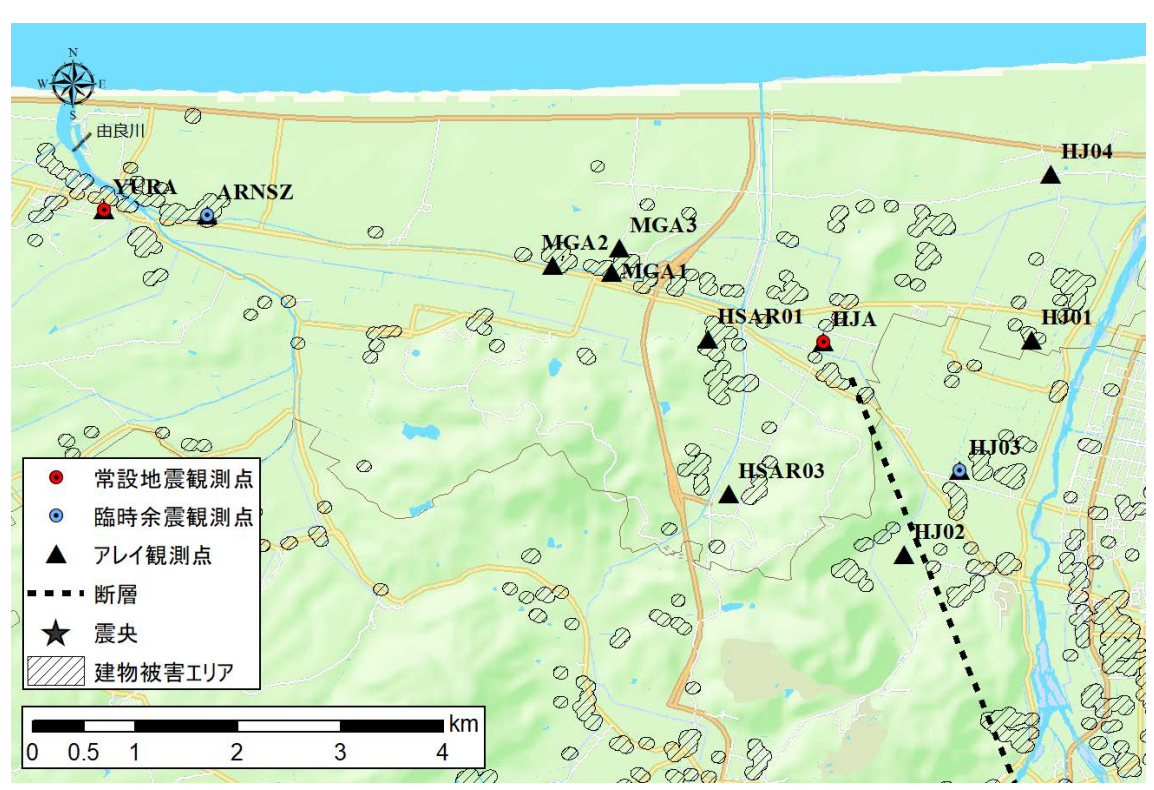


図-2 北栄町における建物被害エリアと各観測点の分布

既往の研究 356では北栄町の卓越周期は 0.8-1.5 秒, 湯梨浜町は 0.5-2.0 秒である. これは Vs=400m/s 以下の 軟らかい堆積層の厚さに対応していると考えられる. ま た,両地域とも山際に近い地域から平野部へ向かって卓 越周期が長くなる傾向がみられている.

(2) 観測概要

3成分単点観測は既往の研究 ⁵⁶で北栄町で 456 点, 湯 梨浜町で 296 点行われている. 本研究では住宅地を中心 に北栄町で 114 点実施した. 屋根瓦落下の被害がみられ た地域では観測点の間隔を 50m おきに設定した. 計測機 器には 3 成分の加速度型地震動計 JU410 を使用した. 増幅倍率を 100 倍, サンプリング周波数は 100Hz もしくは 200Hz, 観測時間は 10-15 分間程度とした.

アレイ観測は既往の研究 ⁵⁶で常設強震観測点で 4 点 (HJA, YURA, YRAR, TGAR), 臨時余震観測点で 3 点 (OSKAR, TZAR, ARNSZ), 被害地域で 3 点 (MGAI-3)の計 10 点で実施されている(図 1, 2). 本研究では臨時余震観測点 HJ03で1点,被害地点で5点の計6点で観測を行った. 計測機器には3成分単点観測と同じ JU410を4台用いてGPSクロックにより同期させる仕様とした. 地震計は円の中心に1台,正三角形を作るように円周上に3台を配置させた. サンプリング周波数は HSARO3のみ 1000Hz, そのほかは200Hz とし,増幅倍率は3成分単点観測と同様に設定し,観測時間は15分程度とした.

臨時余震観測は、建物被害がみられた小鹿谷および高 辻地域の中心地に各1地点(OSKAR, TZAR)設置し、小鹿谷 地域は2017年7月24日から2018年7月2日まで、高辻 地域は2015年10月20日から2020年9月現在まで観測 を実施している。観測機器はセンサー体型記録計CV-374Aを使用し、サンプリング周波数は100Hzに設定した。 観測システムはいずれもNS、EW、UDの3成分を同時に測 定する3成分一体型である。設置状況としては、外部電 源が確保できる屋内の建物の出入り口など硬質な基礎の 上に設置し、GPS クロックによる同期、常時連続観測を おこなう仕様としている。

3. 解析

(1) 微動記録の解析

3成分単点観測の解析は、既往の研究 560の観測点も含 めて以下の手順で再解析を行った. 3 成分単点観測の波 形記録について、交通振動などの非定常な波群が含まれ ない安定した20.48秒間の区間を目測により10区間以上 選定してから3成分のフーリエスペクトルを求め、係数 20 の Log ウィンドウ 8 で平滑化し、それぞれ平均スペク トルを求めた. 得られた3成分のフーリエスペクトルか ら水平動(南北成分; NS, 東西成分; EW, NS と EW 方向を 相乗平均で合成した成分; COMP) と上下動(UD)のスペク トル比(微動 H/V)を求め、目視により卓越周期およびそ の時のピーク値(振幅比)を読み取った. 多くは明瞭なピ ークが1つだけみられる単峰型のスペクトルであったが, 山際などの一部の地域では複数みられる場合があり、そ の場合は隣り合う単峰型の地点との連続性を考慮し、卓 越周期として読み取った. 図3に鳥取県中部域の卓越周 期分布図を示す、分布図のコンター間隔は0.2秒である。

アレイ観測の解析では、近傍の観測点で最下層の速度構造を統一するために、既往の研究データ 500を含めて以下の手順で再解析を行った。解析ツール BIDO Ver. 2.000を用いて、CCA 法 100に基づき位相速度分散曲線を推定した。解析の設定条件として、セグメント長を 10.24秒とし、微動記録の RMS 値を用いた自動抽出により少なくとも 10 区間以上を選択した。次にそれらの区間のパワースペクトルをバンド幅 0.3Hz のパーゼンウィンドウで平滑化したのち平均化し、位相速度分散曲線を求めた。各半径で得られた位相速度分差曲線については、連続性を考慮して各観測点でまとめた。

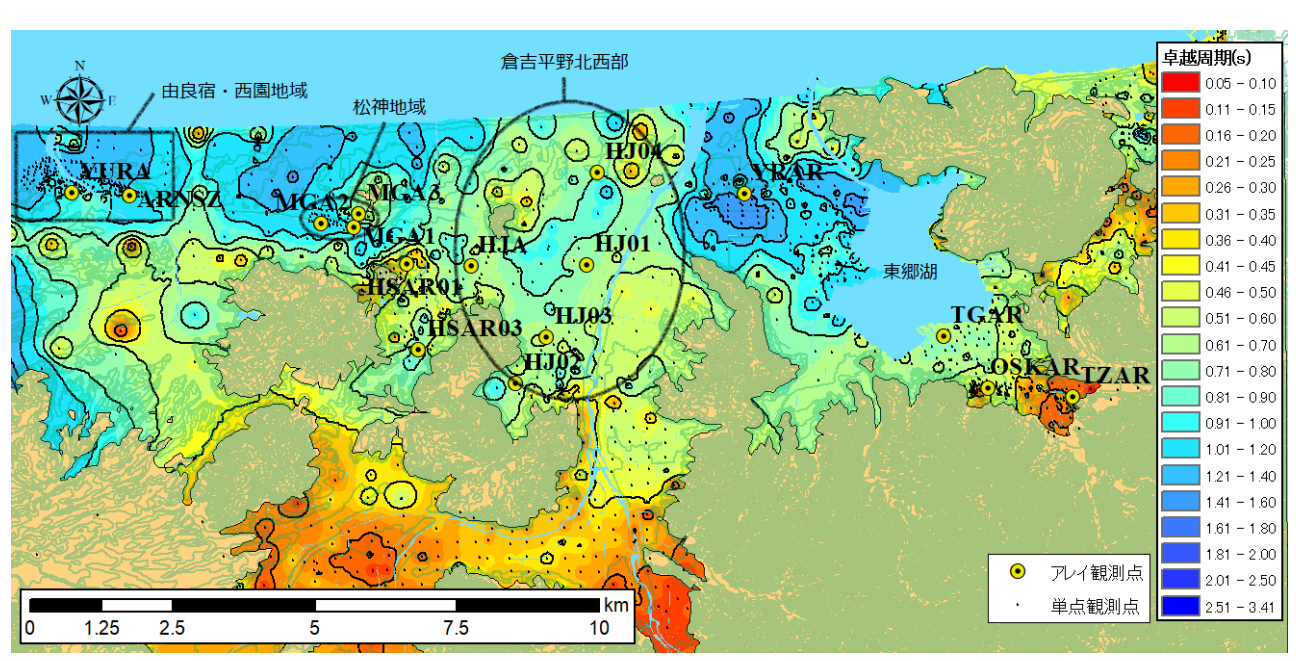


図-3 鳥取県中部域における卓越周期分布図(コンター線は0.2秒間隔)

表-1 微動解析による地盤構造モデル

観測点	層厚(m)	ρ(t/m3)	Vp(m/s)	Vs(m/s)
	33	1.6	1430	140
YRAR	75	1.8	1730	400
YKAK	100	2.1	2070	700
	∞	2.2	2620	1200
	9	1.6	1390	90
	8	1.7	1510	200
TGAR	50	1.8	1730	400
	100	2.1	2070	700
	8	2.2	2620	1200
	8	1.6	1400	100
	3	1.7	1510	200
OSKAR	30	1.8	1730	400
	100	2.1	2070	700
	∞	2.2	2620	1200
	4	1.6	1390	100
TZAR	4	1.7	1510	200
IZAK	100	2.1	2070	700
	8	2.2	2620	1200
	9	1.6	1380	80
	5	1.7	1460	150
HJA	10	1.8	1510	200
	12	1.9	1730	400
	8	2.2	2620	1200

観測点	層厚(m)	ρ(t/m3)	Vp(m/s)	Vs(m/s)
	15	1.7	1400	120
	10	1.8	1600	200
HJ01	30	1.9	1700	400
	150	2.1	2070	700
	∞	2.2	2620	1200
	15	1.7	1400	100
	20	1.8	1500	200
HJ02	30	1.9	1700	400
	250	2.1	2070	700
	∞	2.2	2620	1200
	25	1.7	1400	140
HJ03	40	1.9	1700	400
HJ03	200	2.1	2070	700
	8	2.2	2620	1200
	40	1.7	1500	190
HJ04	30	1.9	1700	400
HJ04	100	2.1	2070	700
	∞	2.2	2620	1200
	9	1.8	1550	230
HSAR01	80	2.1	2070	700
	8	2.2	2620	1200
	10	1.7	1460	50
HSAR03	30	1.8	1510	200
113/4103	40	1.9	1730	400
	8	2.2	2620	1200

観測点	層厚(m)	ρ(t/m3)	Vp(m/s)	Vs(m/s)
	4	1.6	1400	100
MGA1	30	1.8	1510	200
MGA1	100	1.9	1850	500
	∞	2.2	2620	1200
	5	1.6	1400	150
	23	1.7	1510	200
MGA2	20	1.8	1620	300
MGAZ	50	1.9	1850	500
	60	2.1	2070	700
	8	2.2	2620	1200
	35	1.7	1510	200
MGA3	10	1.9	1850	500
	∞	2.2	2620	1200
	10	1.7	1430	130
	10	1.7	1510	200
ARNSZ	70	1.8	1730	400
	60	2.1	2070	700
	∞	2.2	2620	1200
	11	1.7	1490	180
YURA	65	1.8	1730	400
IONA	80	2.1	2070	700
	∞	2.2	2620	1200

青色建物被害がみられた平野部の観測点橙色建物被害がみられた山麓部の観測点

位相速度分散曲線とアレイの中心の3成分微動記録より得られた微動H/Vを用いて、レイリー波基本モードに基づくフォワードモデリングにより地盤構造モデルを推定した。S波速度は既往の研究 3566 やボーリングデータ 110129 を参考に決定し、層厚を変化させてモデリングを行った。密度は既往の研究 3566 を参考に、P波速度はS波速度の換算式 139 を用いて設定した。表1に地盤構造モデルを、付録図1にモデリングした際のレイリー波基本モードの位相速度分散曲線を重ねて示す。表1において、建物被害がみられた山麓部の観測点は青色で、平野部の観測点は橙色で示す。

(2) 地震記録の解析

地震記録の解析では、解析方法を同一にするために、既往の研究 3566 も含めて全ての観測点で以下の手順で再解析を行った。地震記録から各成分の S 波部分 10.24 秒を切り出し、その両端の 5%にコサインテーパーを施したあと、零データを付加した 20.48 秒とし、バンド幅 0.2Hz のパーゼンウィンドウの平滑化によりフーリエスペクトルを算出する。各成分のフーリエスペクトルから水平動(NS 成分: Sns, EW 成分: Sns)と上下動(Sns)のスペクトルの比(地震動 H/V)を以下の式(1)から求めた。本研究では、各地点で 10 程度の H/V スペクトルを求め、その平均を地震動 H/V スペクトルとした。

$$\frac{H}{V} = \sqrt{\frac{S_{NS}^2 + S_{EW}^2}{S_{UD}^2}} \tag{1}$$

この地震動 H/V スペクトルを用いて Vs=700m/s より遅い浅部構造は上述したアレイ観測によるモデル, 深部構造は野口・他 ⁵によるモデルをベースに, 拡散波動場理論 ¹⁴に基づく理論 H/V を用いてフォワードモデリングで推定した. さらにそのモデルをベースに遺伝的アルゴリズム (GA) と焼きなまし法 (SA) によるハイブリッドヒューリスティック探索 ¹⁵によるインバージョンで最終的に地盤構造モデルを求めた. インバージョンのプログラムコードは安井・他 ¹⁶が作成したものを使用した.

パラメータの設定は以下の通りである。GA については試行回数 10 回,標本数 30,世代数 300,交叉確率 0.7,突然変異確率 0.01,動的突然変異およびエリート選択を考慮する。SA については温度低下関数 T=Toexp(-ck*)の係数を a:0.5,c:1.0,初期温度 Toを 100,温度更新回数を 10 とした。探索の対象は S 波速度,P 波速度,層厚,減衰定数とし,密度は S 波速度との換算式 TD から求めた。なお第 1 層目と最下層の S 波速度と層厚は固定し,その他の層に関しては初期値から±25%の範囲で,減衰は最下層を 0.01 で固定し,その他の層は 0.01 から 0.1 の範囲で探索を行った。表 2 に得られた地盤物性データを,図 4 に S 波速度構造の柱状図を,付録図 2 に地震動 H/V とモデル推定で求められた理論 H/V の比較図を示す。

表-2 地震動解析による地盤構造モデル

TGAR 地震動モデル

10/11	TOTAL PERSONAL PAR					
層厚(m)	ρ (t/m^3)	Vp(m/s)	Vs(m/s)	h		
9.0	1.60	1240	90	0.057		
8.0	1.70	1315	200	0.047		
29.7	1.82	1381	400	0.050		
63.8	2.01	1859	825	0.069		
126.2	2.08	3245	1032	0.027		
427.5	2.35	5100	2035	0.059		
00	2.56	5500	3000	0.010		

YRAR 地震動モデル

層厚(m)	ρ (t/m^3)	Vp(m/s)	Vs(m/s)	h	
33.0	1.65	1081	140	0.061	
78.0	1.78	1402	324	0.016	
89.3	2.01	1828	834	0.022	
260.0	2.21	2623	1461	0.019	
400.0	2.37	4504	2130	0.060	
∞	2.56	5500	3000	0.010	

OSKAR 地震動モデル

層厚(m)	ρ (t/m^3)	Vp(m/s)	Vs(m/s)	h
5.0	1.60	1246	90	0.091
35.6	1.87	1319	487	0.034
51.5	1.95	1774	674	0.031
106.1	2.07	3502	1006	0.021
355.2	2.31	4879	1859	0.059
00	2.56	5500	3000	0.010

TZAR 地震動モデル

層厚(m)	ρ (t/m^3)	Vp(m/s)	Vs(m/s)	h
6.0	1.60	1441	90	0.092
6.4	1.75	1722	268	0.014
92.6	2.00	1803	801	0.015
190.4	2.16	3567	1293	0.013
330.0	2.36	4594	2051	0.056
00	2.56	5500	3000	0.010

YURA 地震動モデル

層厚(m)	ρ (t/m^3)	Vp(m/s)	Vs(m/s)	h
11.0	1.68	1438	180	0.051
43.5	1.85	1562	458	0.019
66.5	1.90	2518	561	0.079
110.5	2.14	3738	1232	0.022
361.8	2.32	4635	1898	0.050
00	2.56	5500	3000	0.010

HJA 地震動モデル

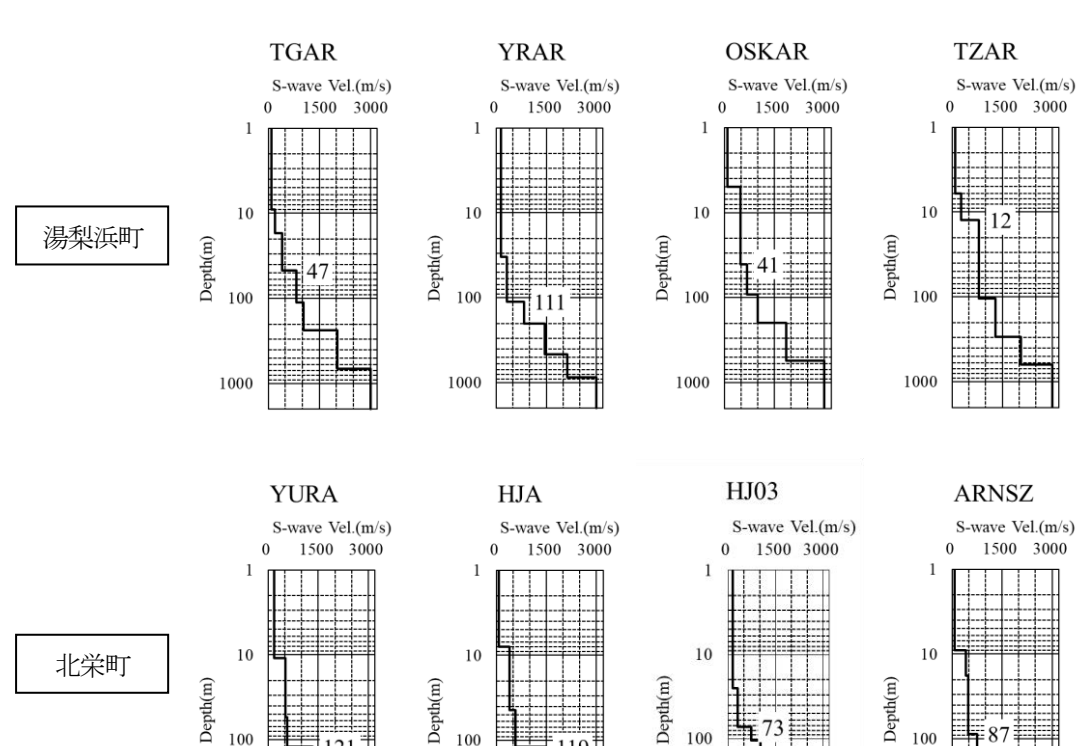
層厚(m)	ρ (t/m^3)	Vp(m/s)	Vs(m/s)	h
8.0	1.59	1270	80	0.093
36.3	1.82	1338	394	0.063
75.0	1.91	1568	580	0.017
105.6	2.22	2680	1485	0.035
413.6	2.39	5196	2195	0.061
∞	2.56	5500	3000	0.010

HJ03 地震動モデル

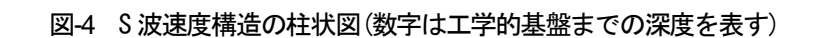
層厚(m)	ρ (t/m ³)	Vp(m/s)	Vs(m/s)	h
25.0	1.7	1540	140	0.035
47.9	1.8	1576	306	0.013
32.4	2.0	2436	727	0.052
250.5	2.1	3707	1017	0.019
255.0	2.4	4476	2170	0.022
8	2.6	5500	3000	0.010

ARNSZ 地震動モデル

層厚(m)	ρ (t/m^3)	Vp(m/s)	Vs(m/s)	h
9.0	1.59	1207	80	0.093
8.8	1.83	1300	407	0.057
69.3	1.87	1337	493	0.051
94.2	1.98	1613	757	0.046
164.2	2.05	2896	935	0.046
435.9	2.29	3981	1761	0.058
∞	2.56	5500	3000	0.010



100



100

1000

地盤構造の推定

微動 H/V の卓越周期 (1)

100

1000

図3より湯梨浜町における卓越周期はYRAR周辺で0.8-1.6秒, TGAR 周辺で 0.4-0.8秒, 山際に近い OSKAR と TZAR で 0.1-0.6 秒の範囲で分布している. 北栄町では YURA や ARNSZ の由良宿・西園地域で 1.0-1.6 秒, MGA1-3 の松神

100

地域で0.3-1.0秒, HJAやHSAR01, 03で0.3-1.0秒, HJO1-04で0.3-1.0秒の範囲で分布している. 倉吉平野北西部では、HJAとHJO1周辺で卓越周期が局所的に長周期化する傾向がみられた. 微動 H/V の形状に注目すると、倉吉平野北西部や東郷湖周辺では単峰型の鋭いピークを持つ観測点が多く、西園・由良宿地域や松神地域では複数のピークを持つ観測点が多いことがわかった(図 5). これは表層の速度構造の違いを反映していると考えられる.

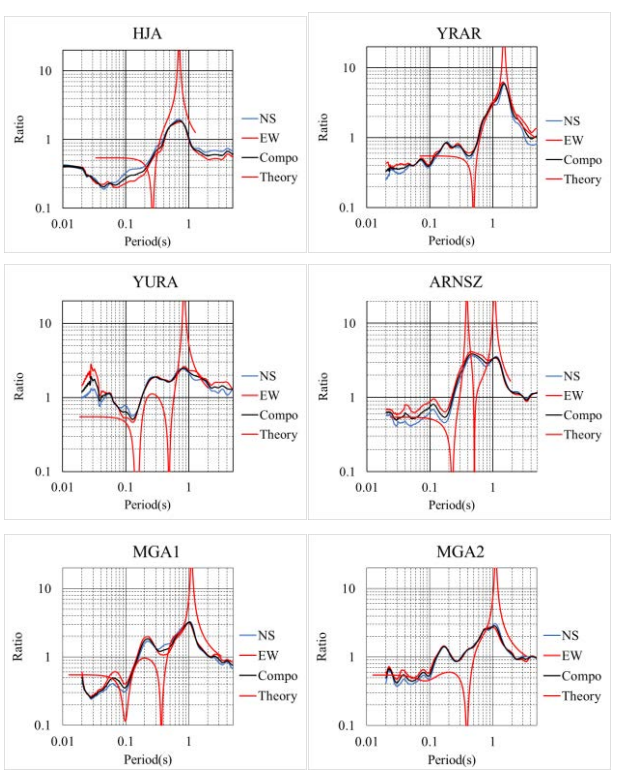


図-5 アレイ観測における中心点の微動 H/V

(2) 地盤構造の推定

観測点周辺のボーリングデータ 1012 より、表 1 の Vs=100m/s 以下は泥、粘土あるいはシルト層、Vs=200m/s 以下は砂層だと考えられる。表 1 より Vs=50-300m/s の低速度層は厚さ 8-48m であり、平野部で厚く、山際に近い内陸部で薄くなる傾向がみられる。建物被害がみられた山麓部の観測点(OSKAR, TZAR, HJO3, HSARO1)では表層に Vs=200m/s 以下の低速度層が十数 m 堆積しており、それ以深は Vs=700m/s 以上の非常に硬い岩盤層が存在することがわかった。一方で建物被害がみられた平野部の観測点(HJO1, MGA1-3, ARNSZ, YURA)では HJA を除いて Vs=700m/s 上面までの層厚が 45-134m と比較的厚いことがわかった。非線形応答が疑われる土下(HJA)、龍島(TGAR)、久留(YRAR)では表層にS波速度 80-140m/s のシルトあるいは砂層がみられ、この層が非線形応答に関与した可能性が高い。

余震記録からさらに深部の地盤構造を推定した. 図 4

中の数字は工学的基盤までの深度を表している. 地盤構造モデルより、平野部(TGAR、YRAR、HJA、ARNSZ)ほど基盤深度が深くなる傾向がみられ、これは平野部で卓越周期が長周期化する傾向と一致する. 山麓部で隣接している OSKAR と TZAR は浅部構造が大きく異なっており、基盤の傾斜や起伏が想定される. Vs=700m/s より深部の基盤速度について、湯梨浜町と北栄町で差があることがわかった. また微動 H/V に複数のピークが確認された ARNSZ とYURA では、深さ 10m と 200m 付近に大きく速度が変化する境界があることがわかった.

5. 建物被害との関連性について

(1) 各地点の地盤増幅度

地盤増幅度の簡易指標である AVS30 と ARV を用いて各地点の地盤増幅度を評価した。 ARV は以下の式(2)で算出する ISO. 表 3 に各地点の AVS30 と ARV を示す。 AVS30 は地下 30m までの平均 S 波速度を表しており、本研究では微動観測で推定された地盤モデルから計算した。 建物被害がみられなかった観測点における ARV は 2.1-3.2 程度、広域で被害がみられた MGA1-3、 ARNSZ、 YURA は 1.6-2.5程度であり、値の大小に関係なく被害がみられることから、ARV と今回の建物被害との相関は薄いことがわかった。

$$logARV = 1.83 - 0.66logAVS30$$
 (2)

表-3 冬地占の AVS30 と ARV

表-3 各地点の AVS30 と ARV					
湯梨浜町	YRAR	TGAR	OSKAR	TZAR	
AVS30	140	174	220	328	
ARV	2.59	2.25	1.98	1.48	
北栄町1	HJ01	HJ02	HJ03	HJ04	
AVS30	160	133	157	190	
ARV	2.37	2.68	2.40	2.12	
北栄町2	HJA	MGA1	MGA2	MGA3	
AVS30	142	176	194	200	
ARV	2.56	2.22	2.09	2.05	
北栄町3	HSAR01	HSAR03	ARNSZ	YURA	
AVS30	434	100	197	276	
ARV	1.23	3.24	2.07	1.65	

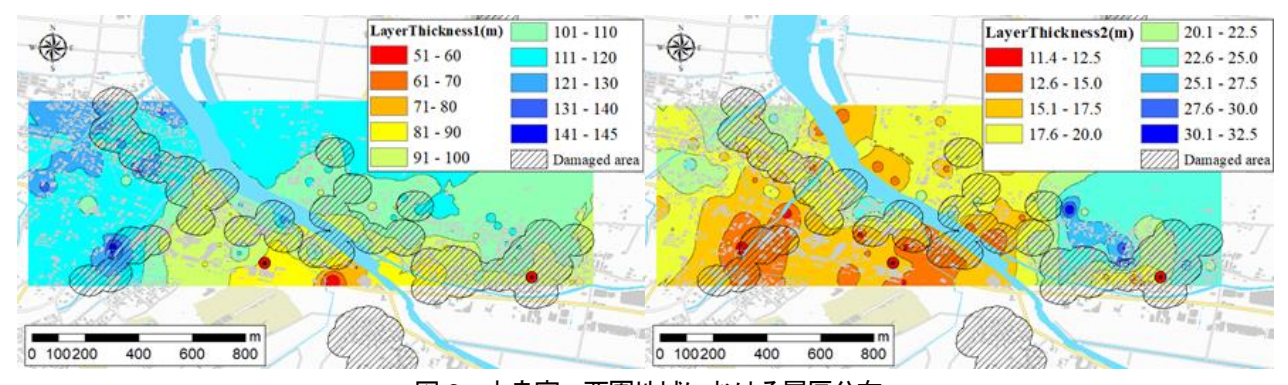


図-6 由良宿・西園地域における層厚分布

(左図:長周期側の卓越周期 Tol, 右図:短周期側の卓越周期 Tol)

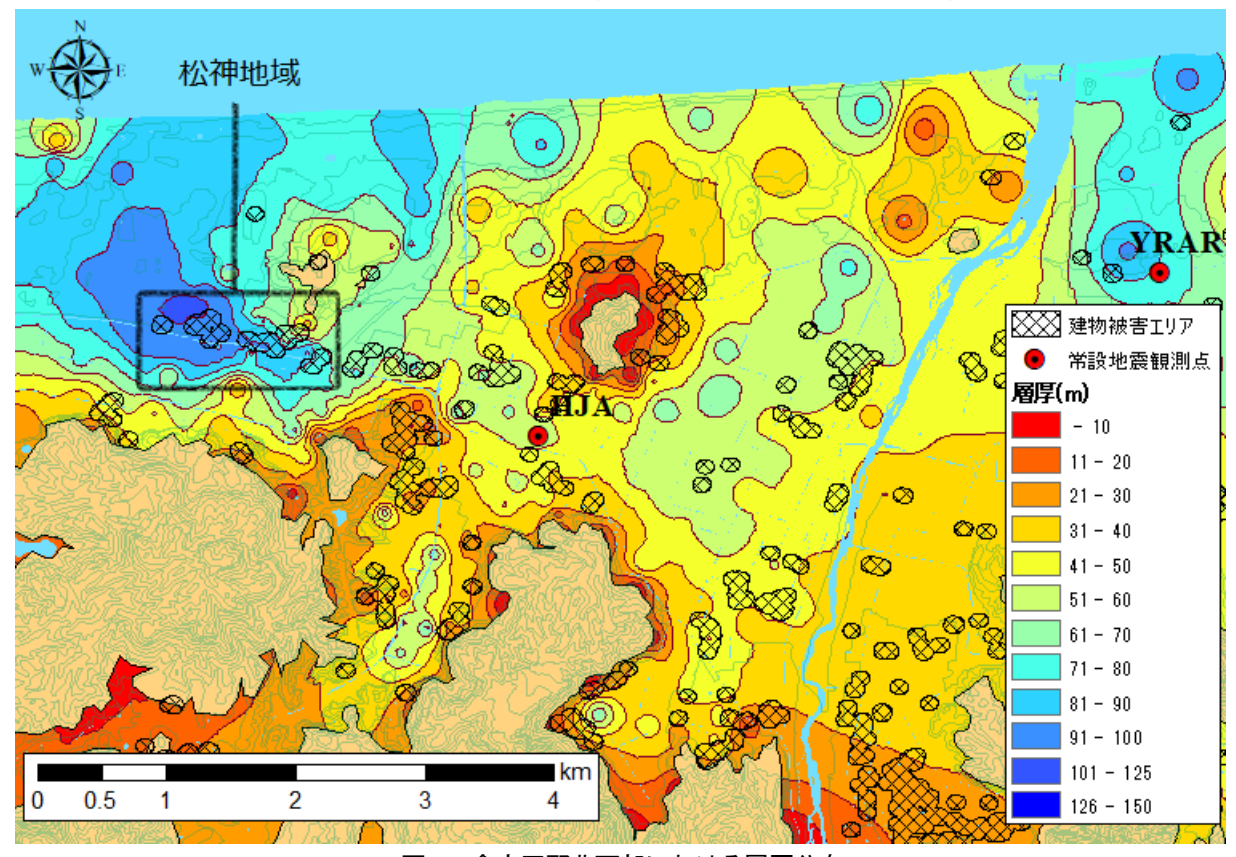


図-7 倉吉平野北西部における層厚分布

(2) 被害地域の層厚分布

建物被害が広範囲で確認された由良宿・西園地域と倉吉平野北西部について、表層地盤のS波速度(Vs)と読み取った卓越周期 (T_p) から、式(3)の4分の1波長則で表層の層厚(H)を推定した。式(3)のiは複数の卓越周期を読み取った地点ではそれぞれの層厚を算出したことを示している。由良宿・西園地域においては短周期側 (T_{pr}) の卓越周期がみられたので、それぞれのピークに対して層厚を推定した。

$$H_i = \frac{V_S T_{pi}}{4} \tag{3}$$

図6の由良宿・西園地域の層厚分布より、Tolによる層

厚は南から北西方向へ向かって深くなり、T_Pによる層厚は局所的に深くなる地点がみられる。被害分布と比較すると、T_Pによる層厚の急変部と建物被害が重なるエリアがみられた。図7より倉吉平野北西部の層厚は HJA 周辺で40-50m, その西側と東側では50mよりも厚くなっており、内陸部へ向かって層厚が薄くなる傾向がある。松神地域では局所的に層厚が厚くなり、西側へ向かって深くなることがわかった。層厚が急変する山麓部や局地的に層厚が厚くなる松神地域で被害分布と重なる領域が多くみられた。このように、層厚が急変する領域で被害が集中的にみられることから、建物被害は基盤の2次元あるいは3次元的な変化が影響していると示唆される。

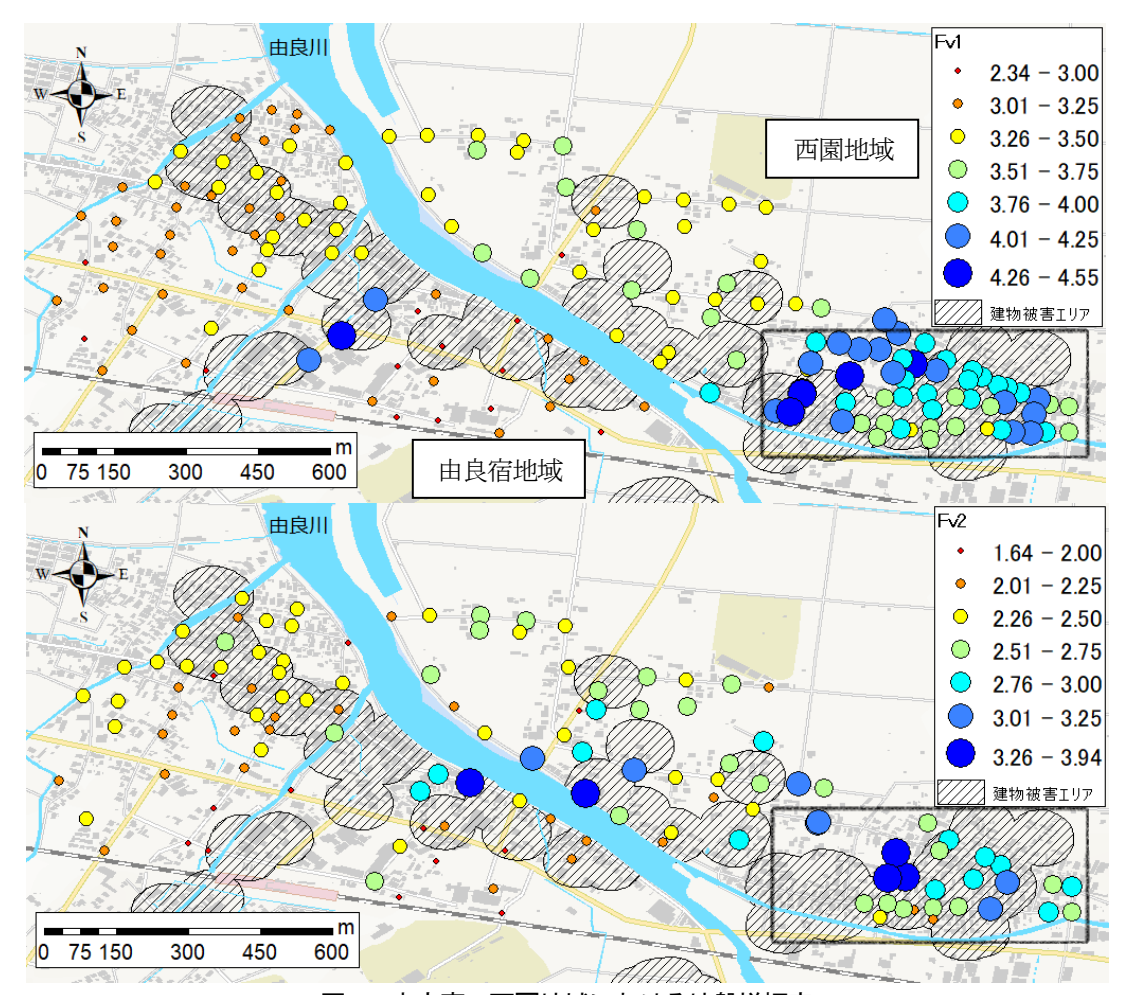


図-8 由良宿・西園地域における地盤増幅度

(上図:長周期側の地盤増幅度 Fv1,下図:短周期側の地盤増幅度 Fv2)

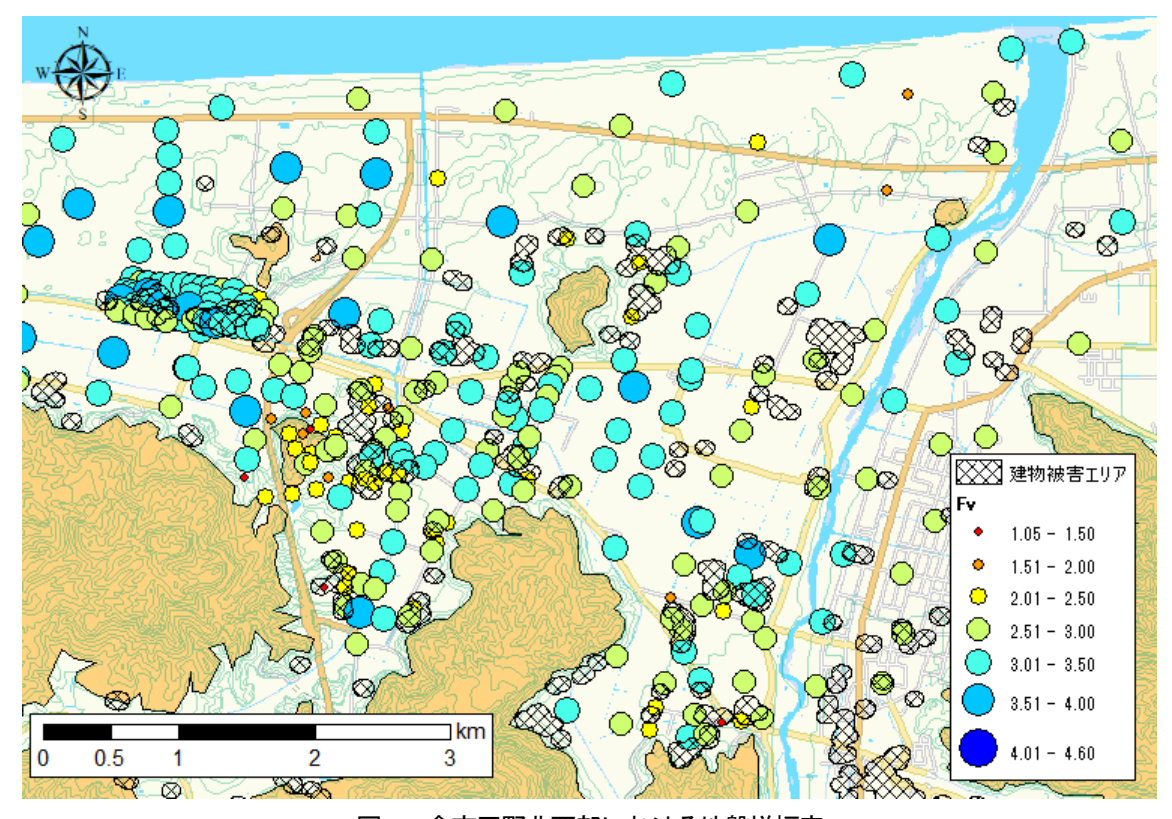


図-9 倉吉平野北西部における地盤増幅度

(3) 微動 H/V を用いた地盤増幅度の評価

西川・他¹⁹は地震観測記録から評価した地盤増幅度を 微動 H/V のピーク値と卓越周期を用いて、経験的な地盤 増幅度の評価を行う回帰式(4)を提案している。地盤増 幅度の観測値と式(4)による予測値の誤差二乗和が最小 になるように回帰係数 c, d, e を決定している(表 4). 本研究では由良宿・西園地域と倉吉平野北西部を対象に 最大地動速度に対する地盤増幅度 Fv を算出し、被害と の対応について検討を行った。微動 H/V に複数のピーク が確認された地域ではそれぞれの Fv について算出した。 図8に由良宿・西園地域、図9に倉吉平野北西部の地盤 増幅度の分布を示す。

 $logF_V = c_1 + c_2 log \alpha_m + c_3 log f_m + c_4 log (f_m^2 + df_m + e)$ (4) α_{m} : 微動 H/V のピーク値

f_m:微動 H/V の卓越周波数(卓越周期の逆数)

表-4 式(4)における回帰係数 19

c1	c2	с3	с4	d	е
0.496	0.291	1.089	-0.817	0	0.468

図8より由良宿地域では、どちらのFvも川沿いに値の高い観測点がみられるが、平面的な違いはみられない、西園地域では、特に被害が集中した黒枠の領域ではFv1とFv2ともに高い傾向がみられる。被害エリアと比較すると、Fvの大きさに関わらずに被害が生じている。

図9より倉吉平野北西部では平野部ほどFv が高く, 山麓部では低い傾向がみられる.被害エリアと比較する と,Fv が3.0前後で被害が生じているようにみえるが, 同じ値でも被害がみられない地域があり,値に関わらず 被害が生じている.これらより,地盤増幅度Fv と今回 の建物被害の対応性は低いと考えられる.

(4) 建物被害の要因について

今回の地震による被害は、屋根瓦の損傷や壁の亀裂など軽微な事例がほとんどであり、鳥取県中部の全域にわたって広範囲で確認された。その上で建物被害と地盤増幅特性の関連性を検討した結果、被害は地盤構造モデルから得られる地盤増幅度や、最大地動速度に対する地盤増幅度とは対応しないことがわかった。卓越周期分布より、建物の固有周期帯(0.2-0.4 秒)に被害が集中していなかったことから、共振によって被害が発生した可能性は低いと思われる。なお、層厚分布より、層厚の急変部で被害がみられることがわかった。

以上のことから工学的基盤の 2次元あるいは 3 次元 的な変化によって地震動が増幅したことが建物被害の要 因として考えられる. ただし、地表に軟らかい堆積層が厚く堆積している久留 (YRAR) や土下 (HJA) などの地域では、地盤の非線形化によって地震動が減衰し、被害が抑えられた可能性がある. また今回の地震の規模は Mpm6.6 であったが、兵庫県南部地震や熊本地震といった M7.0 クラスの地震動であればより広範囲で甚大な被害が生じたかもしれない. 詳細な地震動評価のためには、2 次元あるいは 3 次元の地盤構造モデルの作成とその応答解析、および非線形を考慮した地盤応答解析が重要だと考える.

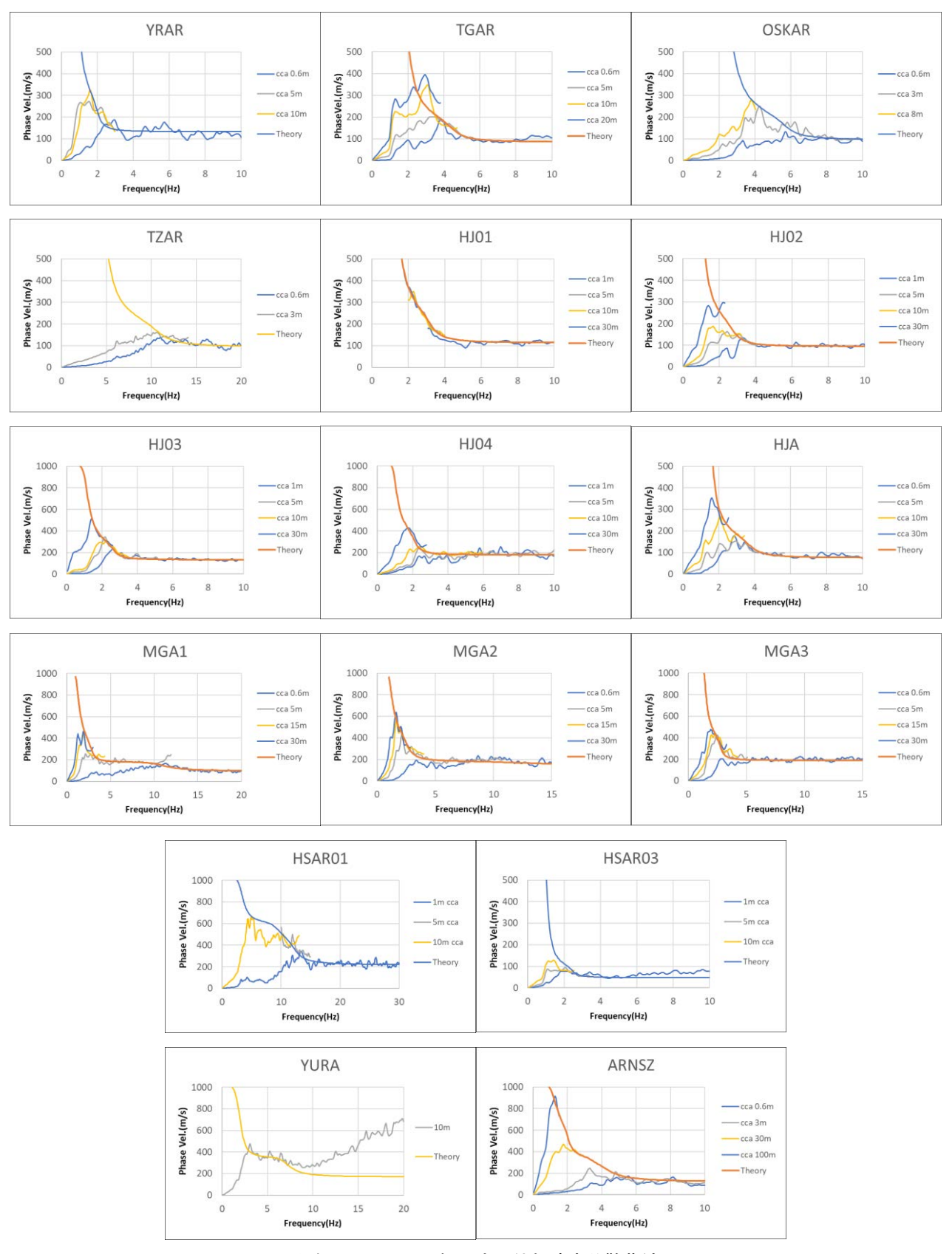
本研究ではブルーシート被覆建物を一律に建物被害とみなして考察を行った.しかしながら、断層近傍の倉吉平野北西部の被害と、断層から遠く離れた由良宿・西園地域の被害は同じ屋根瓦落下の被害であっても、その被害が発生したメカニズムは全く別である.断層近傍の建物被害は、短周期での共振により発生し、由良宿・西園地域ではやや長周期の地盤増幅によって発生したと考えられる.今後の課題として、建物被害のメカニズムを考えて、被害の適切な評価手法を用いることが必要だと考える.

6. まとめ

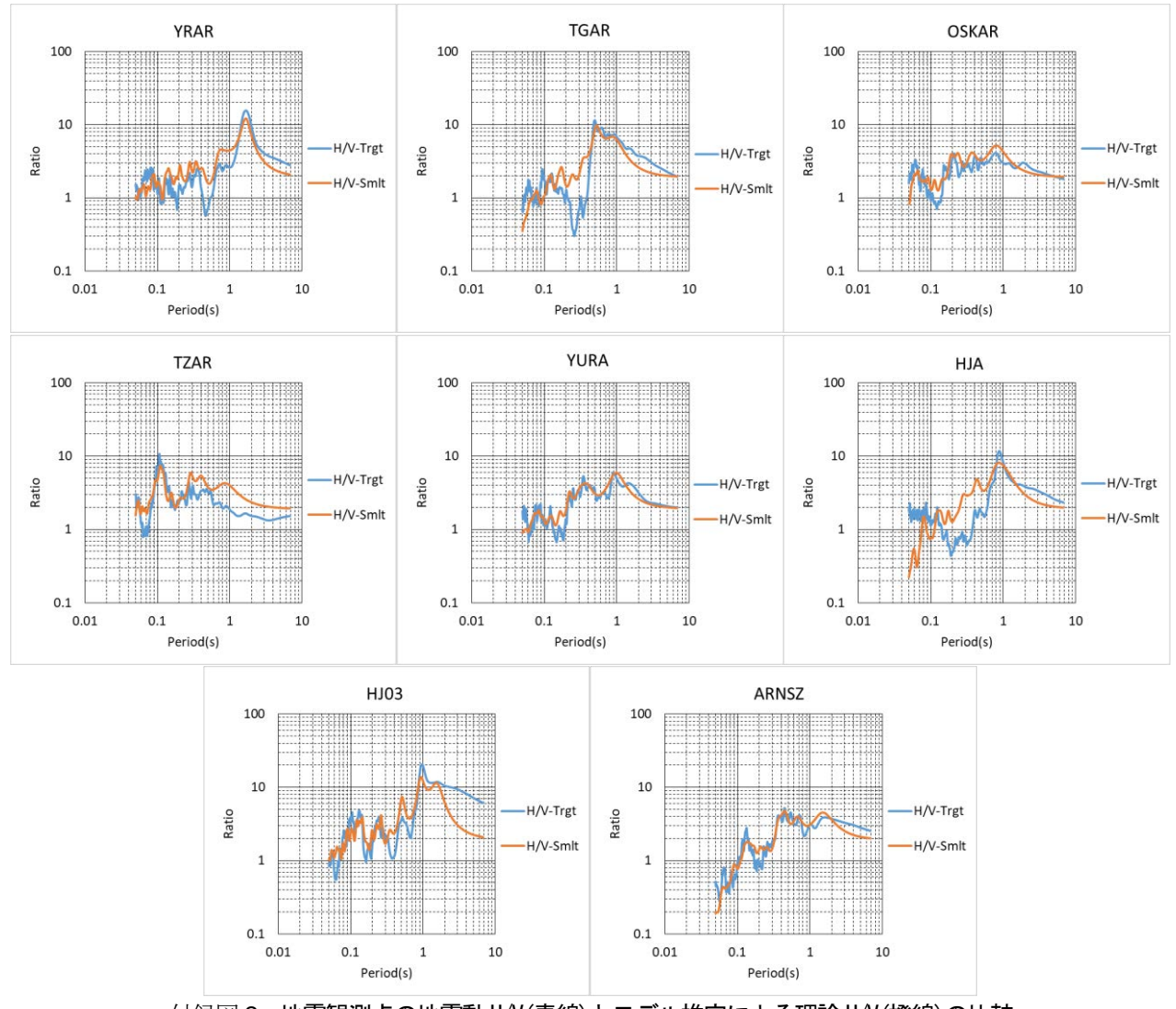
2016年鳥取県中部の地震の被害地域を中心に微動観測を実施し、既往の研究によるデータと統合して地盤構造の推定を行い、地盤震動特性と被害との関連性について検討を行った。その結果、以下のことがわかった。

- a) 微動の3成分単点観測から得られたH/Vは、内陸部 から平野部へ向かって長周期化する傾向がみられ た.
- b) 微動アレイ観測記録より位相速度分散曲線が得られ、S波速度構造を推定した. 非線形地盤応答が観測された土下、龍島、久留では表層に低速度なシルト・砂層が確認され、この層が非線形応答に影響した可能性が高い.
- c) 余震記録から深部地盤構造を推定した結果, Vs=700m/s より深部の基盤速度について, 北栄町と湯梨浜町で異なることを確認した.
- d) 建物被害と各地盤物性から得られる地盤増幅度を 比較した結果,その関連性は低いことがわかった.
- e) 表層のS波速度と微動の卓越周期から層厚を推定し、被害との比較を行った.建物被害は層厚が急変する領域で生じていることがわかり、2次元あるいは3次元的な地盤構造の変化が影響している可能性がある.

今後はこれらの地盤構造モデルをもとに詳細な地盤応 答解析を実施し、地震動評価を継続的に実施する計画で ある. 謝辞:地震動 H/V を用いたインバージョンの計算には、 安井譲博士のプログラムソースを利用させて頂きました. 小鹿谷・高辻の観測点の設置およびデータ収集,建物被 害状況の報告には自治体消防団員の市橋氏,鳥取大学工学部技術職員の山本氏にご協力して頂きました.ここに記して感謝致します.



付録図-1 アレイ観測点の位相速度分散曲線



付録図-2 地震観測点の地震動 H/V(青線) とモデル推定による理論 H/V(橙線) の比較

参考文献

- 地震調査研究推進本部:2016年10月21日鳥取県中部の地震の評価(平成28年11月10日),
 https://www.static.jishin.go.jp/re-source/monthly/2016/22016102_tottori.pdf[2020/09/01閲覧]
- 2) 香川敬生: 2016 年鳥取県中部の地震(M6.6)について, 地震ジャーナル, No.63, pp.14-22, 2017.
- Kagawa, T., Noguchi, T., Yoshida, S. and Yamamoto, S.: Effect of the surface geology on strong ground motions due to the 2016 Central Tottori Earthquake, Japan, Earth, Planets and Space, 69:106 DOI 10.1186/s40623-017-0689-0., 2017.
- 4) 野口竜也,西川隼人,吉田昌平,香川敬生:2016 年 鳥取県中部の地震における非線形地盤応答の基礎的 検討,土木学会論文集 A1 (構造・地震工学) Vol.74, No. 4, [特]地震工学論文集, Vol.37, 2018.
- 5) 野口竜也,中井翔,日高大我,吉見和,上野太士, 西川 隼人,吉田 昌平,香川 敬生:微動および地震 観測に基づく鳥取県中部域の地盤構造推定と地盤震 動特性の把握,日本地震工学論文集,19巻,5号,

- 特集号「第 15 回日本地震工学シンポジウム」その 2, 2019.
- 6) 西村武,野口竜也,香川敬生:微動探査に基づく鳥 取県湯梨浜町における地盤構造の推定,第39回地震 工学研究発表会予稿集,2019.
- 7) 本田禎人,望月貫一郎,下村博之,門馬直一:鳥取 県中部地震での衛星画像によるブルーシート被覆建 物の自動抽出,日本災害情報学会,第19回学会大会 予稿集,pp.244-245,2017.
- 8) 紺野克昭,大町達夫:常時微動の水平/上下スペクトル比を用いる増幅倍率の推定に適した平滑化とその適用例,土木学会論文集,No.525/I-33,pp.247-259,1995.
- 9) 長郁夫,多田卓,篠崎祐三:一般理論が切り開く微動アレイの可能性:解析ツール BIDO の公開, 日本地震学会講演予稿集,2009.
- Cho, I., Tada T. and Shinozaki Y.: Centerless circular array method: Inferring phase velocities of Rayleigh waves in broad wavelength ranges using microtremor records, J. Geophys. Res., 111, B09315, 2006.
- 11) 防災科学技術研究所: Geo Station, https://www.geo-stn.bosai.go.jp/[2020/09/01 閲覧]
- 12) 中国地方基礎地盤研究会:山陰臨海平野地盤図'95,

1995.

- 13) 狐崎長琅,後藤典俊,小林芳正,井川猛,堀家正則, 斉藤徳美,黒田徹,山根修一,奥住宏一:地震動予 測のための深層地盤 P・S 波速度の推定,自然災害 科学,9-3,4-10,1990.
- 14) Kawase, H., Sanchez-Seama, F.J. and Matsushima, S.: The optimal use of horizontal-to-vertiacal spectral ratios of earthquake motions for plane waves, Bull. Seism. Soc. Am. Vol.101, No.5, pp.2001-2014, 2011.
- 15) 山中浩明:ハイブリッドヒューリスティック探索に よる位相速度の逆解析,物理探査,60,pp.265-275, 2007
- 16) 安井譲,西川隼人,前田寿郎,長郁夫,小嶋啓介, 纐纈一起,宮島昌克:地震動 H/V スペクトルによる 地盤構造逆解析の適用性―福井地域の記録を用いた 研究事例―,土木学会論文集 A1 (構造・地震工学) Vol.70, No.4, [特]地震工学論文集, Vol.33, pp.628-643,2014.

- 17) 太田外氣晴, 江守勝彦, 河西良幸: 耐震・振動・制御, 共立出版, p. 339, 2001.
- 18) Midorikawa, S., Matsuoka, M. and Sakugawa, K.: Site Effect of Strong- Motion Records Observed during the 1987-Chiba-kentoho-oki, Japan Earthq. Eng. Sympo, Vol. 3, pp. 85-90., 1994.
- 19) 西川隼人, 野口竜也, 宮島昌克, 香川敬生:微動 H/V の1次ピークの振動数と振幅に基づいた地盤増幅度評価式の検討, 日本地震工学会論文集,第19巻,第7号,2019.

(Received ???, ???) (Accepted ???, ???)

ESTIMATION OF VELOCITY STRUCTURE AND GROUND MOTION CHARACTERISTICS IN THE DAMAGED AREAS DUE TO THE 2016 CENTRAL TOTTORI PREFECTURE EARTHQUAKE, JAPAN

Isamu NISHIMURA, Tatsuya NOGUCHI and Takao KAGAWA

On October 21, 2016, an earthquake with MJMA 6.6 occurred in the central part of Tottori Prefecture, Japan. Observed JMA seismic intensities were 6 lower at Kurayoshi city, Yurihama and Hokuei towns. Housing damages due to the earthquake were concentrated in limited areas. In this study, we carried out microtremor observations around damaged areas, and estimated velocity structures and ground motion characteristics with previously conducted studies. We confirmed relationship between ground motion characteristics and damages due to the earthquake. Low-velocity layers with S-wave velocity less than 200 m/s were estimated at all observation sites and the layers tend to be thicker to coastal plain and thinner to inland areas. Thicknesses to deeper layers with S-wave velocity more than 700 m/s were different in Yurihama town and Hokuei town from earthquake ground motion data. It was found that the damage areas correspond to the parts where the layer thicknesses change steeply. It suggests that the damages concern to two- or three-dimensional effects of velocity structures. The clarification is our future issue.